

GEPERFOREERD INSTELBAAR PLAFONDROOSTER

PLAF-B - grootte 125 mm

• isotherm gemeten met plafondinvloed

1-zijdig

| Qv [m ³ /h] | L _T (0,5m/s) [m] | Δ Ps [Pa] | L _W [NR] | L _W [dB(A)] |
|------------------------|-----------------------------|-----------|---------------------|------------------------|
| 90 | 1,08 | 12 | 20 | 26 |
| 115 | 1,38 | 20 | 30 | 33,9 |
| 140 | 1,68 | 31 | 40 | 42,4 |
| 200 | 2,4 | 64 | 50 | 53,1 |

3-zijdig

| Qv [m ³ /h] | L _T (0,5m/s) [m] | Δ Ps [Pa] | L _W [NR] | L _W [dB(A)] |
|------------------------|-----------------------------|-----------|---------------------|------------------------|
| 130 | 0,6 | 11 | 20 | 25,8 |
| 170 | 0,79 | 18 | 30 | 34,5 |
| 215 | 1 | 30 | 40 | 42,4 |
| 290 | 1,35 | 56 | 50 | 52,2 |

2-zijdig (hoek)

| Qv [m ³ /h] | L _T (0,5m/s) [m] | Δ Ps [Pa] | L _W [NR] | L _W [dB(A)] |
|------------------------|-----------------------------|-----------|---------------------|------------------------|
| 120 | 0,86 | 11 | 20 | 26,1 |
| 150 | 1,07 | 18 | 30 | 34 |
| 190 | 1,36 | 29 | 40 | 42,1 |
| 260 | 1,86 | 56 | 50 | 52,3 |

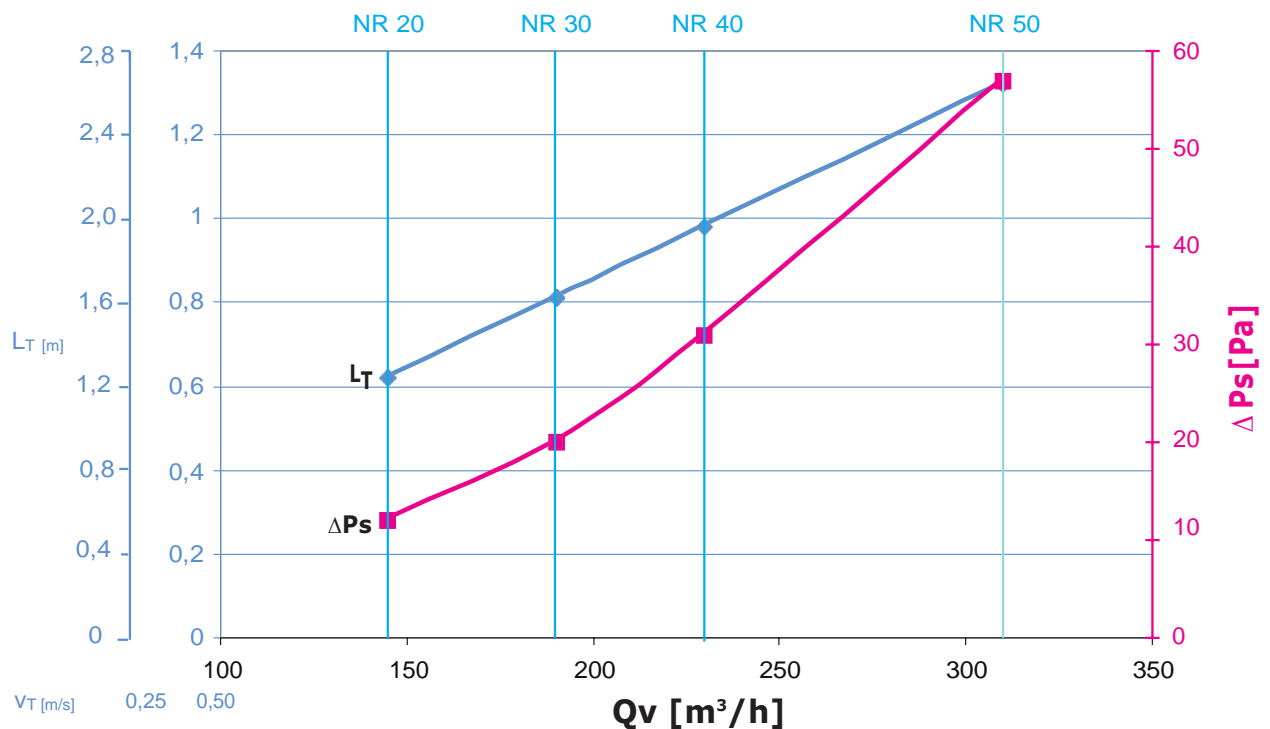
4-zijdig

| Qv [m ³ /h] | L _T (0,5m/s) [m] | Δ Ps [Pa] | L _W [NR] | L _W [dB(A)] |
|------------------------|-----------------------------|-----------|---------------------|------------------------|
| 145 | 0,62 | 12 | 20 | 26,4 |
| 190 | 0,81 | 20 | 30 | 33,9 |
| 230 | 0,98 | 31 | 40 | 41,9 |
| 310 | 1,32 | 57 | 50 | 51,9 |

2-zijdig (teggengesteld)

| Qv [m ³ /h] | L _T (0,5m/s) [m] | Δ Ps [Pa] | L _W [NR] | L _W [dB(A)] |
|------------------------|-----------------------------|-----------|---------------------|------------------------|
| 120 | 0,86 | 8 | 20 | 26,2 |
| 150 | 1,07 | 19 | 30 | 34,3 |
| 190 | 1,36 | 33 | 40 | 42,3 |
| 260 | 1,86 | 66 | 50 | 52,6 |

Grafiek 4-zijdig:



correctiefactor L_T voor koeling (ΔT = -10K): L_T x 0,9

PLAF-B - grootte 160 mm

• isotherm gemeten met plafondinvloed

1-zijdig

| Qv [m ³ /h] | L _T (0,5m/s) [m] | Δ Ps [Pa] | L _W [NR] | L _W [dB(A)] |
|------------------------|-----------------------------|-----------|---------------------|------------------------|
| 140 | 2,29 | 12 | 20 | 27,7 |
| 160 | 2,62 | 16 | 30 | 33,6 |
| 200 | 3,27 | 25 | 40 | 41,4 |
| 275 | 4,5 | 46 | 50 | 51 |

3-zijdig

| Qv [m ³ /h] | L _T (0,5m/s) [m] | Δ Ps [Pa] | L _W [NR] | L _W [dB(A)] |
|------------------------|-----------------------------|-----------|---------------------|------------------------|
| 185 | 0,91 | 8 | 20 | 25,7 |
| 265 | 1,31 | 17 | 30 | 35,4 |
| 325 | 1,61 | 26 | 40 | 42,4 |
| 435 | 2,15 | 46 | 50 | 51,5 |

2-zijdig (hoek)

| Qv [m ³ /h] | L _T (0,5m/s) [m] | Δ Ps [Pa] | L _W [NR] | L _W [dB(A)] |
|------------------------|-----------------------------|-----------|---------------------|------------------------|
| 170 | 1,43 | 10 | 20 | 26,2 |
| 225 | 1,89 | 17 | 30 | 34,2 |
| 275 | 2,31 | 25 | 40 | 41,9 |
| 375 | 3,15 | 46 | 50 | 51,5 |

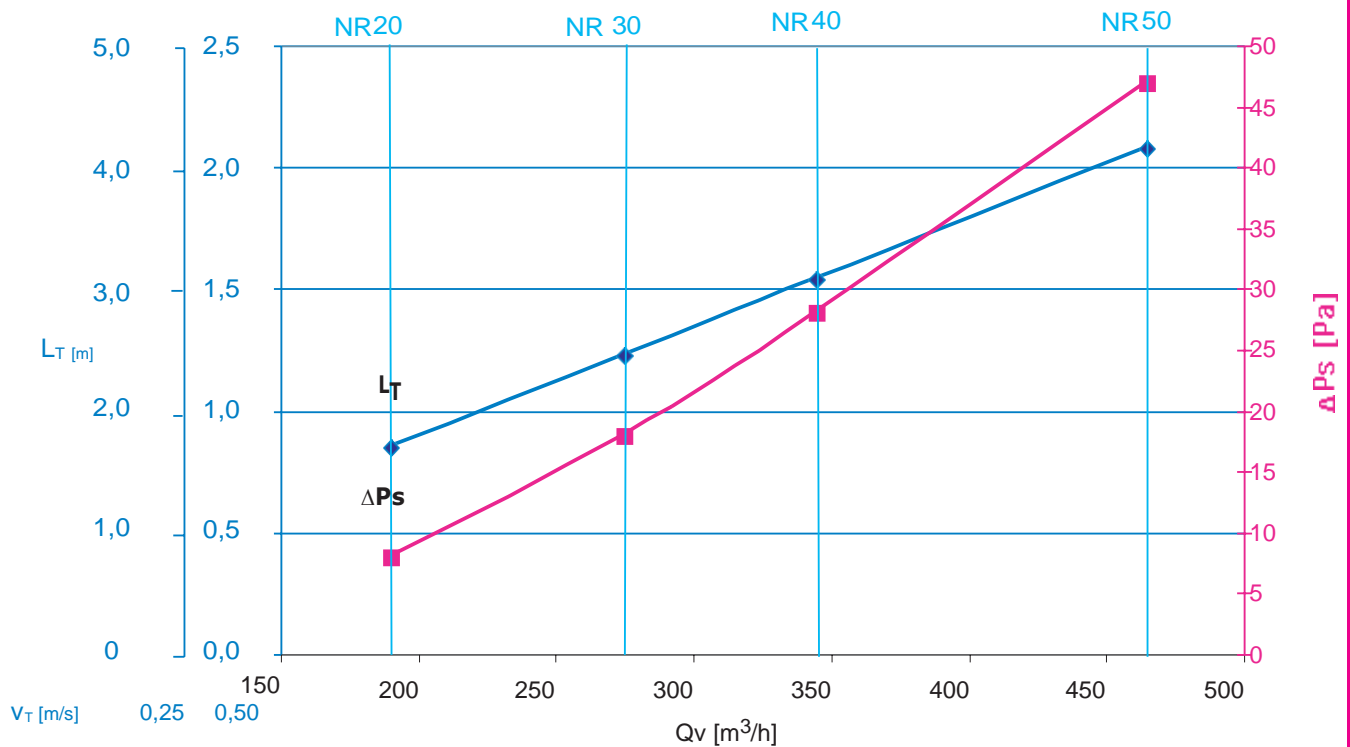
4-zijdig

| Qv [m ³ /h] | L _T (0,5m/s) [m] | Δ Ps [Pa] | L _W [NR] | L _W [dB(A)] |
|------------------------|-----------------------------|-----------|---------------------|------------------------|
| 190 | 0,85 | 8 | 20 | 26,0 |
| 275 | 1,23 | 18 | 30 | 35,0 |
| 345 | 1,54 | 28 | 40 | 42,5 |
| 465 | 2,08 | 47 | 50 | 51,7 |

2-zijdig (tegengesteld)

| Qv [m ³ /h] | L _T (0,5m/s) [m] | Δ Ps [Pa] | L _W [NR] | L _W [dB(A)] |
|------------------------|-----------------------------|-----------|---------------------|------------------------|
| 170 | 1,43 | 10 | 20 | 25,7 |
| 225 | 1,89 | 17 | 30 | 34,2 |
| 275 | 2,31 | 25 | 40 | 42,0 |
| 375 | 3,15 | 46 | 50 | 51,7 |

Grafiek 4-zijdig:



correctiefactor L_T voor koeling (ΔT = -10K): L_T x 0,9

PLAF-B - grootte 200 mm

• isotherm gemeten met plafondbinvloed

1-zijdig

| Qv [m ³ /h] | L _T (0,5m/s) [m] | Δ Ps [Pa] | L _W [NR] | L _W [dB(A)] |
|------------------------|-----------------------------|-----------|---------------------|------------------------|
| 180 | 2,67 | 12 | 20 | 26,6 |
| 220 | 3,26 | 19 | 30 | 34,3 |
| 270 | 4 | 28 | 40 | 41,6 |
| 355 | 5,26 | 50 | 50 | 51,0 |

3-zijdig

| Qv [m ³ /h] | L _T (0,5m/s) [m] | Δ Ps [Pa] | L _W [NR] | L _W [dB(A)] |
|------------------------|-----------------------------|-----------|---------------------|------------------------|
| 285 | 1,27 | 12 | 20 | 26,9 |
| 345 | 1,54 | 18 | 30 | 33,6 |
| 420 | 1,87 | 27 | 40 | 41,8 |
| 545 | 2,43 | 46 | 50 | 51 |

2-zijdig (hoek)

| Qv [m ³ /h] | L _T (0,5m/s) [m] | Δ Ps [Pa] | L _W [NR] | L _W [dB(A)] |
|------------------------|-----------------------------|-----------|---------------------|------------------------|
| 200 | 1,37 | 9 | 20 | 26,5 |
| 275 | 1,89 | 16 | 30 | 34,9 |
| 335 | 2,3 | 25 | 40 | 42,5 |
| 435 | 2,98 | 46 | 50 | 51,4 |

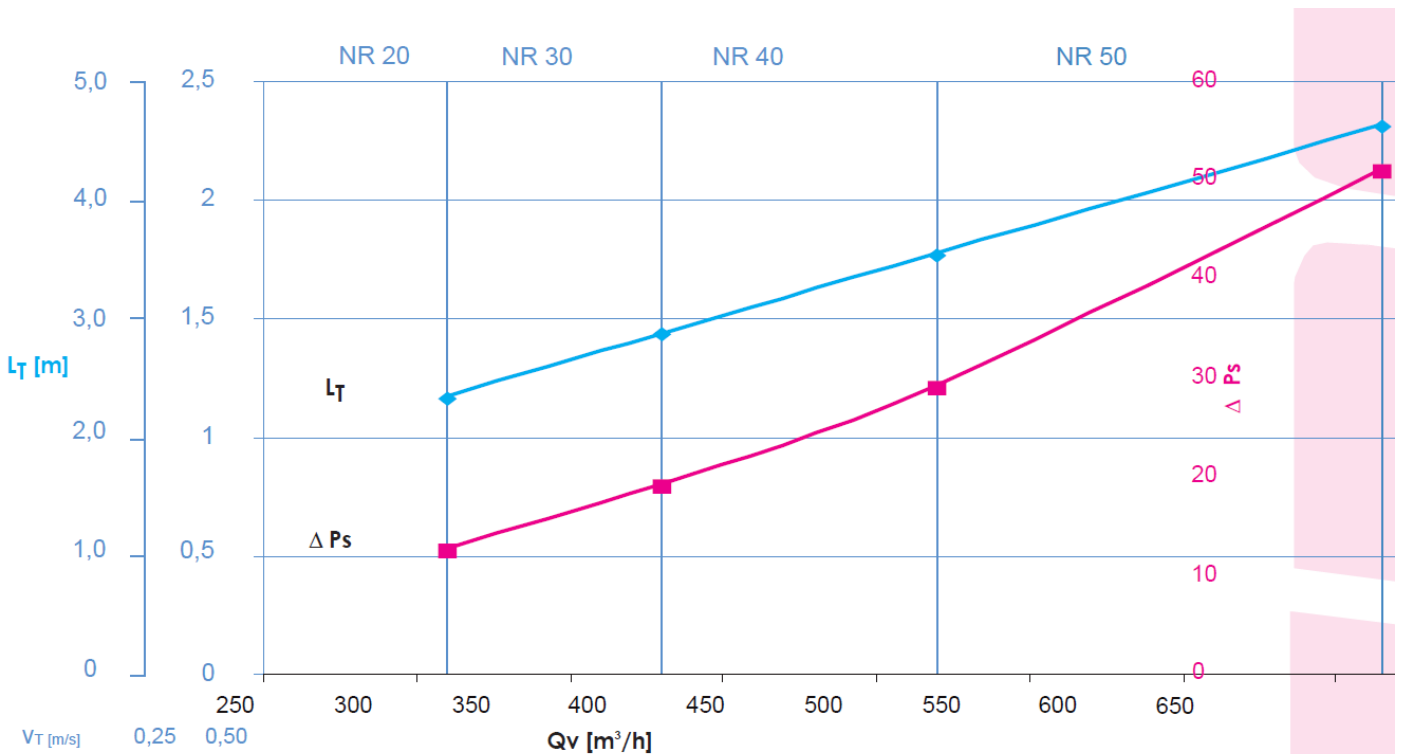
4-zijdig

| Qv [m ³ /h] | L _T (0,5m/s) [m] | Δ Ps [Pa] | L _W [NR] | L _W [dB(A)] |
|------------------------|-----------------------------|-----------|---------------------|------------------------|
| 310 | 1,16 | 12,5 | 20 | 27,2 |
| 380 | 1,43 | 19 | 30 | 33,9 |
| 470 | 1,77 | 29 | 40 | 41,9 |
| 615 | 2,31 | 51 | 50 | 51,3 |

2-zijdig (tegengesteld)

| Qv [m ³ /h] | L _T (0,5m/s) [m] | Δ Ps [Pa] | L _W [NR] | L _W [dB(A)] |
|------------------------|-----------------------------|-----------|---------------------|------------------------|
| 200 | 1,37 | 9 | 20 | 26,8 |
| 275 | 1,89 | 16 | 30 | 35,2 |
| 335 | 2,3 | 25 | 40 | 42,3 |
| 435 | 2,98 | 46 | 50 | 51,4 |

Grafiek 4-zijdig:



correctiefactor L_T voor koeling ($\Delta T = -10$ K): $L_T \times 0,9$

PLAF-B - grootte 250 mm

• isotherm gemeten met plafondinvloed

1-zijdig

| Qv [m ³ /h] | L _T (0,5m/s) [m] | Δ Ps [Pa] | L _w [NR] | L _w [dB(A)] |
|------------------------|-----------------------------|-----------|---------------------|------------------------|
| 240 | 2,35 | 7 | 20 | 24,5 |
| 280 | 2,74 | 13 | 30 | 33,5 |
| 365 | 3,57 | 27 | 40 | 42,4 |
| 540 | 5,29 | 58 | 50 | 53,0 |

2-zijdig (hoek)

| Qv [m ³ /h] | L _T (0,5m/s) [m] | Δ Ps [Pa] | L _w [NR] | L _w [dB(A)] |
|------------------------|-----------------------------|-----------|---------------------|------------------------|
| 300 | 1,3 | 7 | 20 | 25,2 |
| 390 | 1,7 | 14 | 30 | 34,1 |
| 530 | 2,3 | 25 | 40 | 43,7 |
| 770 | 3,35 | 48 | 50 | 53,8 |

2-zijdig (teggesteld)

| Qv [m ³ /h] | L _T (0,5m/s) [m] | Δ Ps [Pa] | L _w [NR] | L _w [dB(A)] |
|------------------------|-----------------------------|-----------|---------------------|------------------------|
| 300 | 1,3 | 7 | 20 | 25,0 |
| 390 | 1,7 | 14 | 30 | 33,6 |
| 530 | 2,3 | 25 | 40 | 43,3 |
| 770 | 3,35 | 48 | 50 | 53,5 |

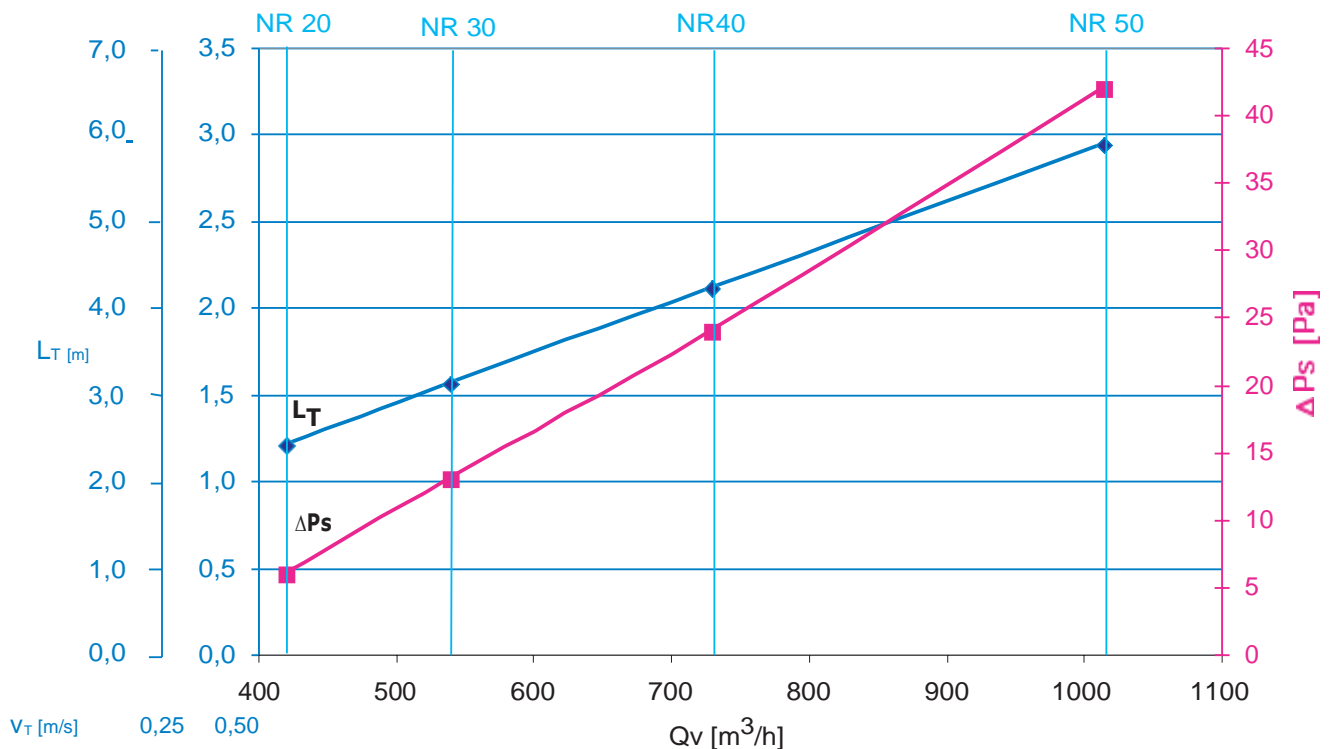
3-zijdig

| Qv [m ³ /h] | L _T (0,5m/s) [m] | Δ Ps [Pa] | L _w [NR] | L _w [dB(A)] |
|------------------------|-----------------------------|-----------|---------------------|------------------------|
| 365 | 0,85 | 7 | 20 | 25 |
| 465 | 1,09 | 13 | 30 | 33,6 |
| 625 | 1,46 | 24 | 40 | 43,3 |
| 885 | 2,07 | 44 | 50 | 53,5 |

4-zijdig

| Qv [m ³ /h] | L _T (0,5m/s) [m] | Δ Ps [Pa] | L _w [NR] | L _w [dB(A)] |
|------------------------|-----------------------------|-----------|---------------------|------------------------|
| 420 | 1,21 | 6 | 20 | 25,1 |
| 540 | 1,56 | 13 | 30 | 34 |
| 730 | 2,11 | 24 | 40 | 43,3 |
| 1015 | 2,94 | 42 | 50 | 53,3 |

Grafiek 4-zijdig:



correctiefactor L_T voor koeling (ΔT = -10K): L_T x 0,9

PLAF-B - grootte 315 mm

• isotherm gemeten met plafondinvloed

1-zijdig

| Qv [m ³ /h] | L _T (0,5m/s) [m] | Δ Ps [Pa] | L _W [NR] | L _W [dB(A)] |
|------------------------|-----------------------------|-----------|---------------------|------------------------|
| 295 | 2,2 | 8,9 | 20 | 24,8 |
| 367 | 2,74 | 13,5 | 30 | 33,2 |
| 520 | 3,88 | 27,3 | 40 | 42,5 |
| 728 | 5,43 | 53 | 50 | 52,3 |

3-zijdig

| Qv [m ³ /h] | L _T (0,5m/s) [m] | Δ Ps [Pa] | L _W [NR] | L _W [dB(A)] |
|------------------------|-----------------------------|-----------|---------------------|------------------------|
| 567 | 1,19 | 9 | 20 | 27,2 |
| 759 | 1,6 | 16 | 30 | 34,8 |
| 1008 | 2,12 | 28,6 | 40 | 43,7 |
| 1378 | 2,9 | 54,2 | 50 | 52,5 |

2-zijdig (hoek)

| Qv [m ³ /h] | L _T (0,5m/s) [m] | Δ Ps [Pa] | L _W [NR] | L _W [dB(A)] |
|------------------------|-----------------------------|-----------|---------------------|------------------------|
| 443 | 1,45 | 8,4 | 20 | 25,6 |
| 536 | 1,75 | 12,3 | 30 | 33,3 |
| 771 | 2,52 | 25 | 40 | 42,7 |
| 1093 | 3,58 | 51 | 50 | 52,2 |

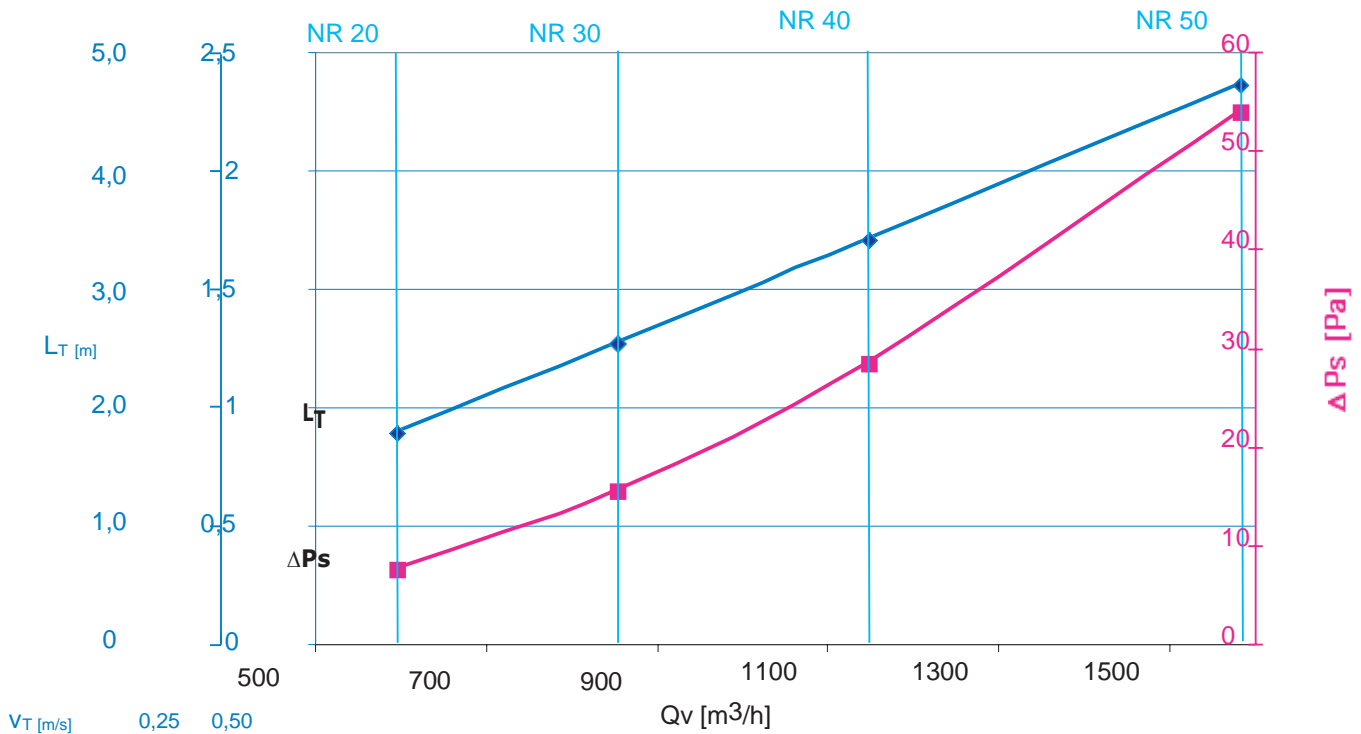
4-zijdig

| Qv [m ³ /h] | L _T (0,5m/s) [m] | Δ Ps [Pa] | L _W [NR] | L _W [dB(A)] |
|------------------------|-----------------------------|-----------|---------------------|------------------------|
| 595 | 0,89 | 7,5 | 20 | 27,5 |
| 854 | 1,27 | 15,5 | 30 | 36,4 |
| 1147 | 1,71 | 28,5 | 40 | 44,4 |
| 1584 | 2,36 | 54 | 50 | 53,1 |

2-zijdig (tegengesteld)

| Qv [m ³ /h] | L _T (0,5m/s) [m] | Δ Ps [Pa] | L _W [NR] | L _W [dB(A)] |
|------------------------|-----------------------------|-----------|---------------------|------------------------|
| 443 | 1,45 | 8,4 | 20 | 25,1 |
| 536 | 1,75 | 12,3 | 30 | 32,6 |
| 771 | 2,52 | 25 | 40 | 42,7 |
| 1093 | 3,58 | 51 | 50 | 52,2 |

Grafiek 4-zijdig:



correctiefactor L_T voor koeling (ΔT = -10 K): L_T x 0,9